

7. Quantenmechanische Lösung für das Wasserstoffatom

Böhrs Modell nicht konsistent mit Heisenbergscher Unschärferelation: Elektron in kreisförmigem Orbital $\Delta r \cdot \Delta p_r \geq \hbar/12$

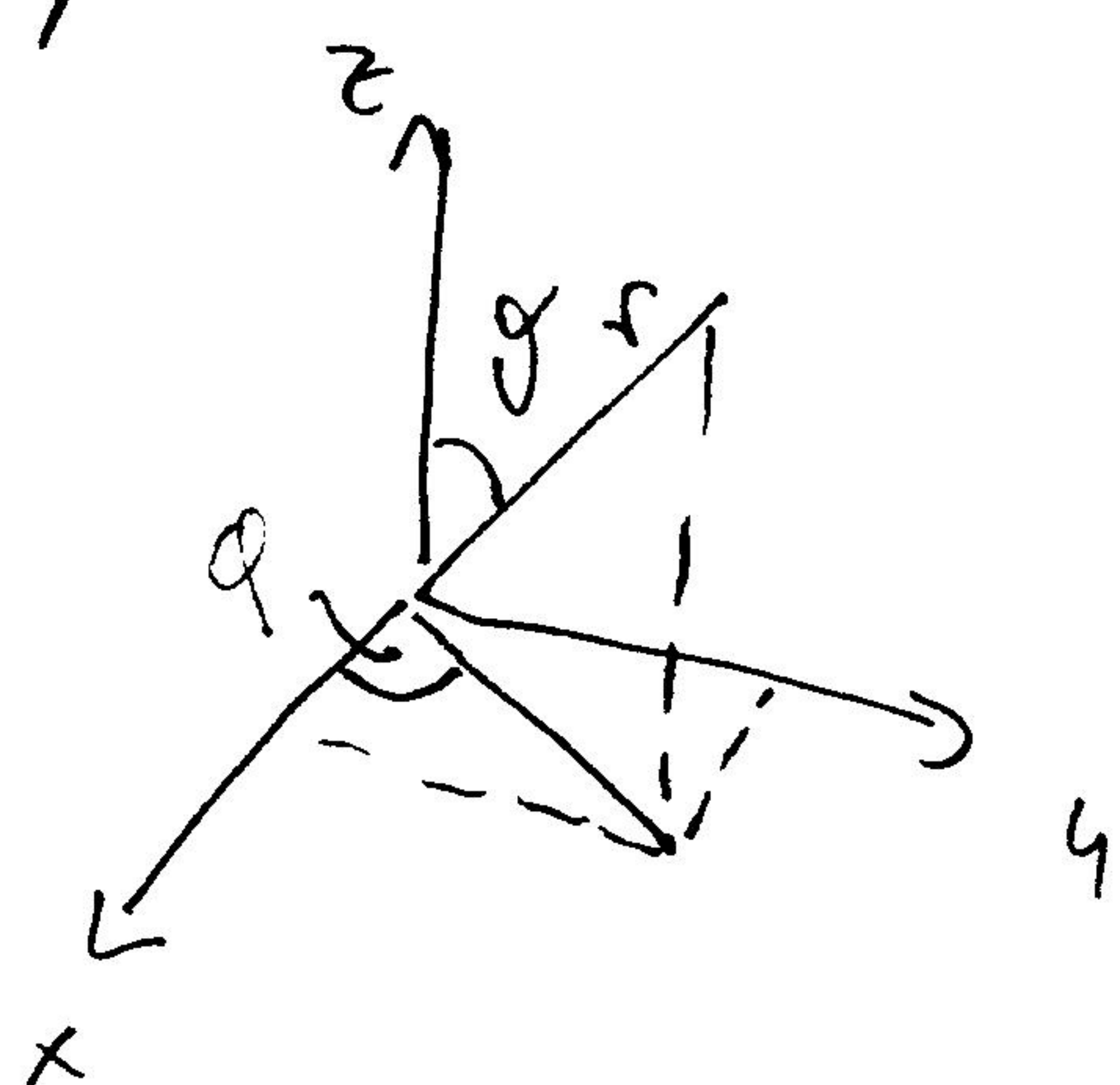
$\Delta r = 0$; da Bewegung keine radiale Komponente hat $\Delta p_r = 0 \Rightarrow \Delta p_r = 0$
 (siehe auch Problem u. Brüderstahleung).

7.1. Schrödinger Gleichung mit attraktivem Coulomb-Potential

$$\text{Proton-Elektron System} \quad V = -\frac{e^2}{r} = -\frac{e^2}{\sqrt{x^2+y^2+z^2}}$$

$$-\frac{\hbar^2}{2m} \left(\frac{\partial^2}{\partial x^2} + \frac{\partial^2}{\partial y^2} + \frac{\partial^2}{\partial z^2} \right) \psi(x, y, z) - \frac{e^2}{\sqrt{x^2+y^2+z^2}} \psi(x, y, z) = E \psi(x, y, z)$$

Kompliziert da Separation der Variable x, y, z nicht möglich. Sphärische Symmetrie des Potentials legt Koordinatenwechsel nahe \rightarrow sphärische- o. Kugel-Koordinaten



$$\begin{aligned} x &= r \sin \theta \cos \varphi \\ y &= r \sin \theta \sin \varphi \\ z &= r \cos \theta \end{aligned}$$

Differentiale

$$\begin{aligned} dx &= \sin\vartheta \cos\varphi dr + r \cos\vartheta \cos\varphi d\vartheta + r \sin\vartheta \sin\varphi d\varphi \\ dy &= \sin\vartheta \sin\varphi dr + r \cos\vartheta \sin\varphi d\vartheta + r \sin\vartheta \cos\varphi d\varphi \\ dz &= \cos\vartheta dr - r \sin\vartheta d\vartheta (+ 0 d\varphi) \end{aligned}$$

d²w

$$\begin{pmatrix} dx \\ dy \\ dz \end{pmatrix} = \begin{vmatrix} \sin\vartheta \cos\varphi & r \cos\vartheta \cos\varphi & -r \sin\vartheta \sin\varphi \\ \sin\vartheta \sin\varphi & r \cos\vartheta \sin\varphi & r \sin\vartheta \cos\varphi \\ \cos\vartheta & -r \sin\vartheta & 0 \end{vmatrix} \begin{pmatrix} dr \\ d\vartheta \\ d\varphi \end{pmatrix}$$

$$\text{dann wird } dV = dxdydz = r^2 \sin\vartheta dr d\vartheta d\varphi \\ = r^2 dr d\cos\vartheta d\varphi$$

Laplace Operator

$$\nabla^2 = \frac{\partial^2}{\partial x^2} + \frac{\partial^2}{\partial y^2} + \frac{\partial^2}{\partial z^2} = \\ \frac{1}{r^2} \frac{\partial}{\partial r} \left(r^2 \frac{\partial}{\partial r} \right) + \frac{1}{r^2 \sin\vartheta} \frac{\partial}{\partial \vartheta} \left(\sin\vartheta \frac{\partial}{\partial \vartheta} \right) + \frac{1}{r^2 \sin^2\vartheta} \frac{\partial^2}{\partial \varphi^2}$$

siehe z.B. V. Reich, Mathe. f. d. Exp. phys., Vorlesungen Kap. 10
o. Lang und Pöschl, Mathe. Methoden in der Physik Kap. 8

Wieder Annahme, daß Wellenfunktion faktorisiert
singt $\Psi(r, \vartheta, \varphi) = R(r) \Theta(\vartheta) \Phi(\varphi)$
~ Schrödinger-Gleichung zerfällt in 3 Gleichungen.

- 1) Setze ∇^2 und Produkt aus und multipliziere mit $\frac{r^2}{R(r)\Theta(\vartheta)\Phi(\varphi)}$

$$-\frac{\hbar^2}{2m} \left(\frac{1}{R(r)} \frac{\partial}{\partial r} \left(r^2 \frac{\partial}{\partial r} \right) R(r) + \frac{1}{\Theta(\vartheta) \phi(\varphi)} \frac{1}{\sin \vartheta} \frac{\partial}{\partial \vartheta} \left(\sin \vartheta \frac{\partial}{\partial \vartheta} \right) + \frac{1}{\sin \vartheta} \frac{\partial^2}{\partial \varphi^2} \right] \Theta(\vartheta) \phi(\varphi) \right) - e^2 r - Er^2 = 0$$

$$\frac{1}{R(r)} \frac{\partial}{\partial r} \left(r^2 \frac{\partial}{\partial r} \right) R(r) + \frac{2mr^2}{\hbar^2} \left(\frac{e^2}{r} + E \right) = -\frac{1}{\Theta(\vartheta) \phi(\varphi) \sin \vartheta} \left[\frac{\partial}{\partial \vartheta} \left(\sin \vartheta \frac{\partial}{\partial \vartheta} \right) + \frac{1}{\sin \vartheta} \frac{\partial^2}{\partial \varphi^2} \right] \Theta(\vartheta) \phi(\varphi)$$

linke Seite hängt nur von r ab, rechte Seite von ϑ und φ .

Beide Seiten müssen konstant sein $\equiv 1$

2) Multipliziere rechte Seite mit $\sin^2 \vartheta$

$$\underbrace{\frac{\sin \vartheta}{\Theta(\vartheta)} \frac{\partial}{\partial \vartheta} \left(\sin \vartheta \frac{\partial}{\partial \vartheta} \right) \Theta(\vartheta) + 1 \sin^2 \vartheta}_{\text{hängt nur von } \vartheta \text{ ab}} + \underbrace{1 \sin^2 \vartheta}_{\text{hängt von } \vartheta, \varphi \text{ ab}} = -\frac{1}{\phi(\varphi)} \frac{\partial^2}{\partial \varphi^2} \phi(\varphi) \equiv \text{konst} = m_e^2$$

→ 3 Gleichungen, je in einer Variable

$$\frac{d^2 \phi(\varphi)}{d \varphi^2} + m_e^2 \phi(\varphi) = 0 \quad (1)$$

$$\frac{1}{\sin \vartheta} \frac{d}{d \vartheta} \left(\sin \vartheta \frac{d \Theta(\vartheta)}{d \vartheta} \right) + 1 \Theta(\vartheta) - \frac{m_e^2}{\sin^2 \vartheta} \Theta(\vartheta) = 0 \quad (2)$$

$$\frac{1}{r^2} \frac{d}{dr} \left(r^2 \frac{d R(r)}{dr} \right) + \left[\frac{2m}{\hbar^2} \left(\frac{e^2}{r} + E \right) - \frac{1}{r^2} \right] R(r) = 0 \quad (3)$$

3 Differentialgleichungen, nur Gleichung in r hängt vom Potentiel ab. ⇒ alle Probleme un.

sphärischer Symmetrie werden ideale Lösungen für $\Phi(\varphi)$ und $\Theta(\vartheta)$ haben!

Lösungen für Gleichung (1) :

$$\Phi(\varphi) = A \exp(i m_e \varphi) \sim \frac{d^2 \Phi(\varphi)}{d\varphi^2} = -m_e^2 \Phi(\varphi)$$

Lösungen charakterisiert durch Konstante oder Quantenzahl m_e

$$\text{da } \Phi(\varphi) = \Phi(\varphi + 2\pi) \rightarrow m_e = 0, \pm 1, \pm 2, \dots$$

ganzzahlig

m_e : "magnetische Quantenzahl"

Lösungen für Gleichung (2) : sind wieder 2 Quantenzahlen die $\Theta(\vartheta)$ charakterisieren.

m_e kann von (1) übernommen werden.

G. (2) hat Lösungen für $\lambda = l(l+1)$ wobei l ganzzahlig und $\geq m_e$

für ein gegebenes $l \rightarrow m_e = 0, \pm 1, \pm 2, \dots \pm l$

Bahndrehimpuls.

l : "orbitale Quantenzahl"

"Quantenzahl d. Bahndrehimpulses"

Funktionen $\Theta(\vartheta)$ sind Polynome in $\cos \vartheta$
"assoziierte Legendre-Polynome" $P_{l,m_e}(\cos \vartheta)$

$$l=0 \quad m_e=0 \quad P_{0,0} = \frac{1}{\sqrt{2}}$$

$$l=1 \quad m_e=0 \quad P_{1,0} = \sqrt{\frac{1}{2}} \cos \vartheta$$

$$\left. \begin{array}{ll} l=1 \quad m_l = \pm 1 & P_{1,1} = \sqrt{3}/2 \sin \vartheta \\ l=2 \quad m_l = 0 & P_{2,0} = \sqrt{5/8} (3 \cos^2 \vartheta - 1) \\ l=2 \quad m_l = \pm 1 & P_{2,1} = \sqrt{15}/2 \sin \vartheta \cos \vartheta \\ l=2 \quad m_l = \pm 2 & P_{2,2} = \sqrt{15}/4 \sin^2 \vartheta \end{array} \right\} \begin{array}{l} \text{d.h.} \\ l \text{ gibt an} \\ \text{welche Potenz} \\ \text{von } \sin/\cos \\ \text{im Polynom steht} \end{array}$$

Lösungsgesetze für Gleichung (3) mit vier weiteren Fällen
2 Konstante $A = e(e+1)$ (vom d. (2)) und E.

Lösen von Gl. (3) für $E_n = -\frac{m_e c^2 e^4}{2(\hbar c)^2} \frac{1}{n^2}$
 $= -13.6 \text{ eV } \frac{1}{n^2}$ oder jedes positive E
 → gebundene Zustände exakt wie im Bohr-Modell!
 zusätzliche Bedingung: n (ganztahlig) $\geq l+1$
 oder für gegebenes $n \sim l=0, 1, 2, \dots (n-1)$
 $n=1, 2, 3, \dots$ "Hauptquantenzahl"

Funktionen $R(x)$, die Gl. (3) lösen

$$R_{n,e}(r) \propto \left(\frac{r}{na_0}\right)^e \exp(-r/na_0) L_{n,e}$$

Polygonum virga.

"assortiert Lagernde Polycrystallin"

$1, \left(2 - \frac{r}{a_0}\right)$, where a is Pottet &

von $\frac{r}{a_0}$ angibt $n=1$ ≈ 0

3 2 - -

Zusammenfassend: Lösung d. Schrödinger-Gleichung

u. Coulombpotential und in 3 Dimensionen charakterisiert durch 3 Quantenzahlen

$n = 1, 2, 3, \dots$ Hauptquantenzahl

$\ell = 0, 1, 2, \dots (n-1)$ Drehimpulsquantenzahl

$m_\ell = 0, \pm 1, \pm 2, \dots \pm \ell$ magnetische Quantenzahl

radiale Wellenfunktion $R_{n,\ell}(r) \quad \} \Psi =$

polare "

azimutale "

$$\left. \begin{array}{l} \Theta_{\ell,m_\ell}(\vartheta) \\ \Phi_{m_\ell}(\varphi) \end{array} \right\} R_{n,\ell} \cdot \Theta_{\ell,m_\ell} \cdot \Phi_{m_\ell}$$

löst wählbar. Teil Ψ jedes Problems in sphärischen kugelfunktionen

genauer Diskussion, wie Symmetriehilf $Y_{\ell,m_\ell}(\cos\vartheta, \varphi)$

7.2. Physikalische Bedeutung d. Quantenzahlen n, ℓ, m_ℓ

a) Hauptquantenzahl n : charakterisiert Energie des gebundenen Elektrons $E_n = -13.6 \text{ eV}/n^2$
Quantisierung d. Energien $\leftrightarrow n$, unabhängig von ℓ, m_ℓ

b) Drehimpulsquantenzahl ℓ :

$$-\frac{\hbar^2}{2mr^2} \frac{d}{dr} \left(r^2 \frac{dR}{dr} \right) + \left[\frac{\ell(\ell+1)\hbar^2}{2mr^2} - \frac{e^2}{r} \right] R = ER$$

Lösungen für radiale Bewegung sollten nur von r abhängen, aber E ist totale Energie = kin. + pot. Energie kinetische Energie: radiale Bewegung und orbitale (Bahn-) Bewegung

$$E = T_r + T_0 + V = \frac{P_r^2}{2mr} + \frac{L^2}{2mr^2} - \frac{e^2}{r}$$

$$-\frac{\hbar^2}{2mr^2} \frac{d}{dr} \left(r^2 \frac{dR}{dr} \right) + \left[\frac{\ell(\ell+1)\hbar^2}{2mr^2} - \frac{P_r^2}{2mr} - \frac{L^2}{2mr^2} \right] R = 0$$

Kann man nur rein radiale Bewegung sein wenn

$$T_0 = \frac{L^2}{2mr^2} = \frac{1}{2} m v_0^2 = \frac{\ell(\ell+1)\hbar^2}{2mr^2} \quad L = mv_0 \cdot r$$

$|\vec{L}| = \hbar \sqrt{\ell(\ell+1)}$ Quantenzahl ℓ bestimmt Länge des ^(Bahn)Drehimpulsvektors. Drehimpuls ist quantisiert

z.B. Elektron mit $\ell=2$ hat Bahndrehimpuls von Größe $|\vec{L}| = \hbar \sqrt{2(2+1)} = 1.6 \cdot 10^{-15} \text{ eVs} = 2.6 \cdot 10^{-34} \text{ Js}$

zum Vergleich: Bahndrehimpuls d. Erde $2.7 \cdot 10^{40} \text{ Js}$ d.h. bei makroskopischen Objekten Quantisierung des Bahndrehimpulses nicht beobachtbar.

Makroskopische Notation für Zustände im Atom mit Zahl (n) und Buchstaben (für ℓ)

$\ell=0 \rightarrow s$ } von früher Klassifikation der assoziierten Spektrallinien

1 p
2 d
3 f } $s \equiv \text{sharp}$ $p \equiv \text{principal}$
 $d \equiv \text{diffuse}$ $f \equiv \text{fundamental}$

$n=1$	$1s$	-	-	-	-
2	$2s$	$2p$	-	-	-
3	$3s$	$3p$	$3d$	-	-
4	$4s$	$4p$	$4d$	$4f$	-
5	$5s$	$5p$	$5d$	$5f$	$5g$

$\ell=0 \quad 1 \quad 2 \quad 3 \quad 4 \quad 5$

c) magnetische Quantenzahl m_l
 ℓ bestimmt Länge des Bahnspinvektors \vec{L} . $\vec{L} = \vec{r} \times \vec{p}$ senkrecht zu Ebene der Bewegung

m_l charakterisiert Richtung von \vec{L} im Raum.

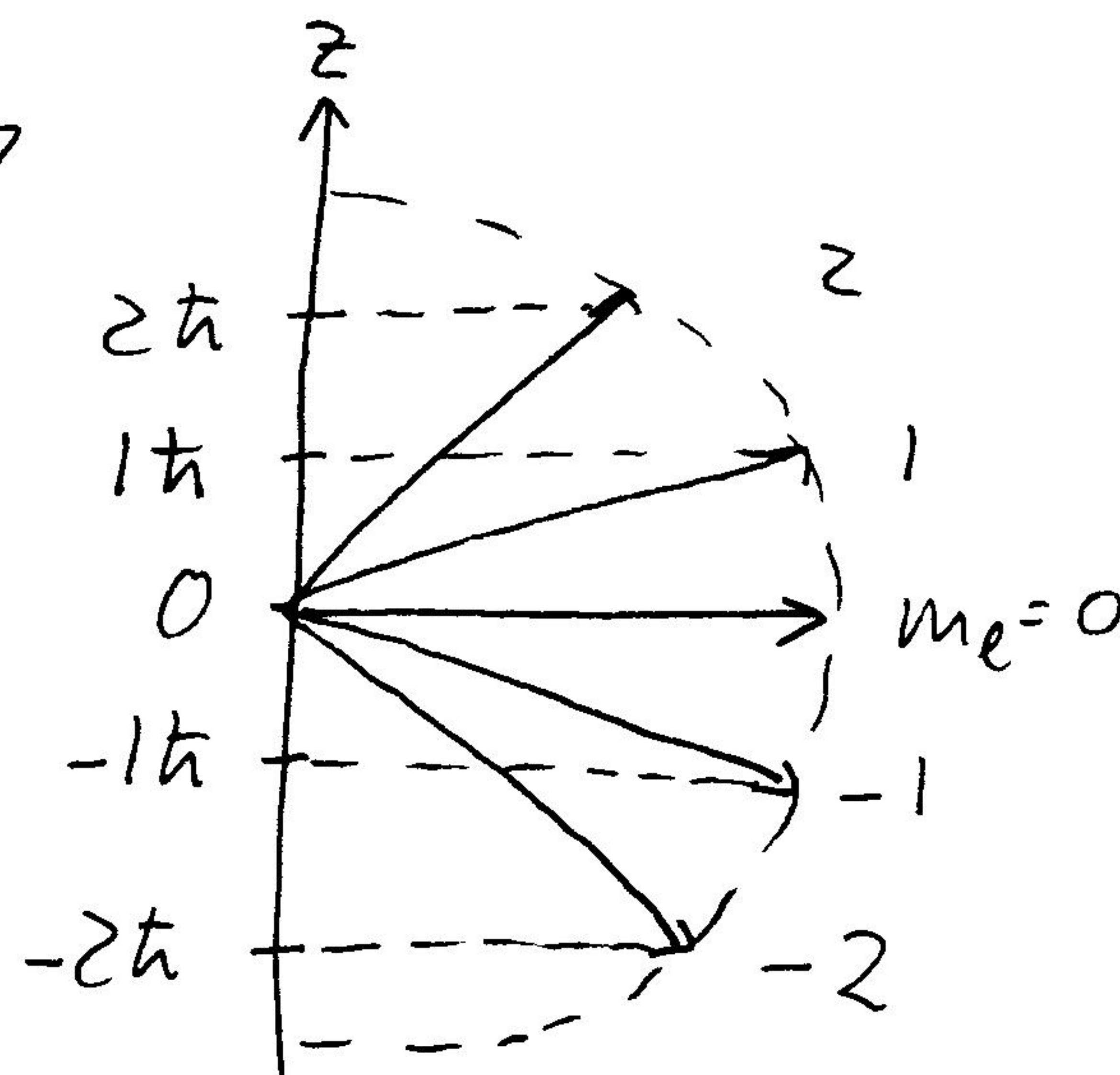
Definiere eine Vorzugsrichtung (z.B. durch Anlegen eines externen elektrischen oder magnetischen Feldes) = z-Richtung

$$L_z = |\vec{L}| \cos \vartheta = m_l \hbar$$

nicht alle möglichen Orientierungen der Bahnbewegung d. Elektrons im Raum erlaubt sondern nur solche, die z-Komponente ergeben, die ganzzahliges Vielfaches von \hbar

$$\text{z.B. } \ell = 2 \quad |\vec{L}| = \hbar \sqrt{2 \cdot 3} = \sqrt{6} \hbar$$

→ präzidiert (schuell) um z-Achse mit fest z-Projektion.



Bemerkung: im Gegensatz zum Bohr Modell ist bei gegebener Hauptquantenzahl n Länge des Bahnspinvektors nicht $n \cdot \hbar$ sondern höchstens ($\text{if } \ell = n-1$) $\hbar \sqrt{n(n-1)}$ $n=3 \quad |\vec{L}|_{\max} = \hbar \sqrt{6} = 2.3 \hbar$
 $n=100 \quad = \hbar \sqrt{99 \cdot 100} \approx 100 \hbar$

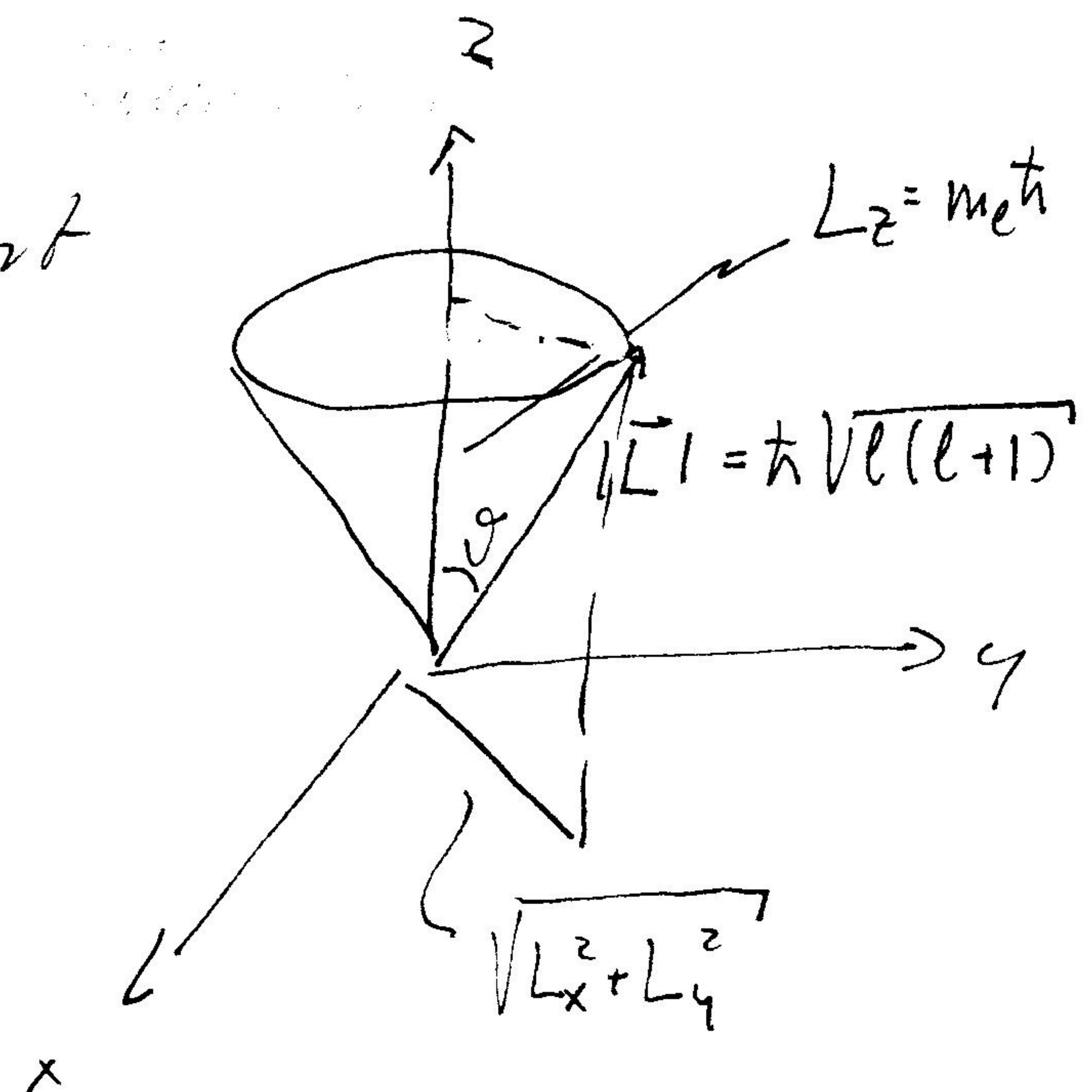
aber Bahnspinvektor kann immer auch kleiner, z.B. gleich Null sein. Als Projektion auf z-Achse ist ganzzahliges Vielfaches von \hbar !

Drehimpulsvektor präzisiert um z-Achse

$$\cos \vartheta = \frac{m_e}{\sqrt{\ell(\ell+1)}}$$

$$L_x^2 + L_y^2 = |\vec{L}|^2 - L_z^2$$

$$= \hbar^2 (\ell(\ell+1) - m_e^2)$$



aus Unschärferelation verbietet, dass noch eins
weiter Komponente von \vec{L} genau bekannt ist.
z-Komponente und Länge von \vec{L} genau be-
kannt, antikommute Winkel φ total unbe-
stimmt \rightarrow schnelle Präzession von \vec{L} um
z-Achse

d) Einführung der Energieniveaus

Energie hängt nur von n ab, nicht von ℓ
und m_e . Für jedes Energieniveau E_n gibt
es eine Menge von verschiedenen
Zuständen des Atoms, jede charakterisiert
durch seine eigene Wellenfunktion, d.h.
ähnliche Verteilung des Atoms.

Neuer Zustand (Energieniveau) x -fach ent-
artet. Zustand charakterisiert durch
von Quantenzahlen n, ℓ, m_e

n	ℓ	m_e	x	
1	0	0	1	einfach entartet
2	0	0	4	vierfach "
	1	$0, \pm 1$	3	
3	0	0	9	neunfach "
	1	$0, \pm 1$	3	
2	0, $\pm 1, \pm 2$		3	
4			9 + 7 = 16	
:			:	jedes Niveau ist
n			n^2	n^2 -fach entartet

↑ etc.

→ 1.5 eV $(\overline{3,0,0}), (\overline{3,1,0}), (\overline{3,1,1}), (\overline{3,1,-1}), (\overline{3,2,0}), (\overline{3,2,1}), (\overline{3,2,-1}), (\overline{3,2,2}), (\overline{3,2,-2})$ $n=3$

→ 3.4 eV $\frac{(\overline{3,0,0}), (\overline{3,1,0}), (\overline{3,1,1}), (\overline{3,1,-1}), (\overline{3,2,0}), (\overline{3,2,1}), (\overline{3,2,-1}), (\overline{3,2,2}), (\overline{3,2,-2})}{(\overline{2,0,0}), (\overline{2,1,0}), (\overline{2,1,1}), (\overline{2,1,-1})}$ $n=2$

→ 13.6 eV $\frac{(1,0,0)}{(n, \ell, m_e)}$ $n=1$

7.3. Wasserstoff-Wellenfunktionen

$$\psi_{n,\ell,m_e}(r, \theta, \varphi) = R_{n,\ell}(r) \Theta_{\ell,m_e}(\theta) \Phi_{m_e}(\varphi)$$

n	ℓ	m_e	$R(r)$	$\Theta(\theta)$	$\Phi(\varphi)$
1	0	0	$2a_0^{-3/2} \exp(-r/a_0)$	$1/\sqrt{2}$	$1/\sqrt{2\pi}$
2	0	0	$1/(2a_0)^{3/2} (2 - r/a_0) \exp(-r/(2a_0))$	"	"

$$2 \begin{pmatrix} 1 \\ 1 \\ 1 \end{pmatrix} = \frac{1}{\sqrt{3}} \begin{pmatrix} 1 & 1 & 1 \end{pmatrix} \begin{pmatrix} r/a_0 \exp(-r/ka_0) \\ \sqrt{3/2} \cos \vartheta \\ \sqrt{1/2} \sin \vartheta \end{pmatrix}$$

generelle Melode;

$$\Psi_{n,l,m_l} \propto \left(\frac{r}{na_0}\right)^l \exp\left(-\frac{r}{na_0}\right) L_{n,l} P_{l,m_l} \cos(m_l \varphi)$$

$$\psi_{3,00} = \zeta_1 \left(27 - \frac{18r}{a_0} + \frac{2r^2}{a_0^2} \right) \exp(-r/3a_0)$$

$$\Psi_{3,1,0}^{3,0,0} = C_2 \left(\frac{6r}{a_0} - \frac{r^2}{a_0^2} \right) \exp(-r/3a_0) \cos \vartheta$$

$$\tilde{\psi}_{3,2,0} = C_3 \left(\frac{r^2}{a_0^2} \right) \exp(-r/3a_0) (3\cos^2\theta - 1)$$

Waterschewilheit behan zu feider gesetze
durch Quadrat d. Wellenfrequenz.

z.B. Wahrscheinlichkeit w kleiner als x und $x+dx$

$$dP(x) = \psi^*(x) \psi(x) dx = 141^2 dx$$

och ci bleuere Vleueer leueet d'V=dx dy dz

Use x, y, z

$$dP(x,y,z) = 14r^2 dx dy dz$$

ui sphärischen Mordleather

$$dP(r,\theta,\phi) = 14r^2 r^2 dr \sin\theta d\theta d\phi$$

och

$$dP(r,\theta,\varphi) = |R_{n,e}(r)|^2 |\Theta_{l,m_l}(\theta)|^2 |\Phi_{m_e}(\varphi)|^2 r^2 dr \sin\theta d\theta d\varphi$$

Wahrscheinlichkeit Fehler Risiellen r und r+dr,
womit F+dr, wenn q+dq zu füllen.

radial Walzschleiflücke
dicke: Wahrscheinlichkeit Elektron wird

$r+dr$ zu beiden unabhängig von ϑ, ϕ (spezielle o. Kugelschale)

$$dP(r) = [R_{n,e}]^2 r^2 dr \int_0^\pi [O_{l,m_e}(\vartheta)]^2 \sin \vartheta d\vartheta \int_0^{2\pi} [\Phi_{m_l}(\phi)]^2 d\phi$$

$\frac{dP(r)}{dr} \quad \underset{=1}{\underbrace{\int_0^\pi [O_{l,m_e}(\vartheta)]^2 \sin \vartheta d\vartheta}} \quad \underset{=1}{\underbrace{\int_0^{2\pi} [\Phi_{m_l}(\phi)]^2 d\phi}}$

radiale Wahrscheinlichkeitsdichte

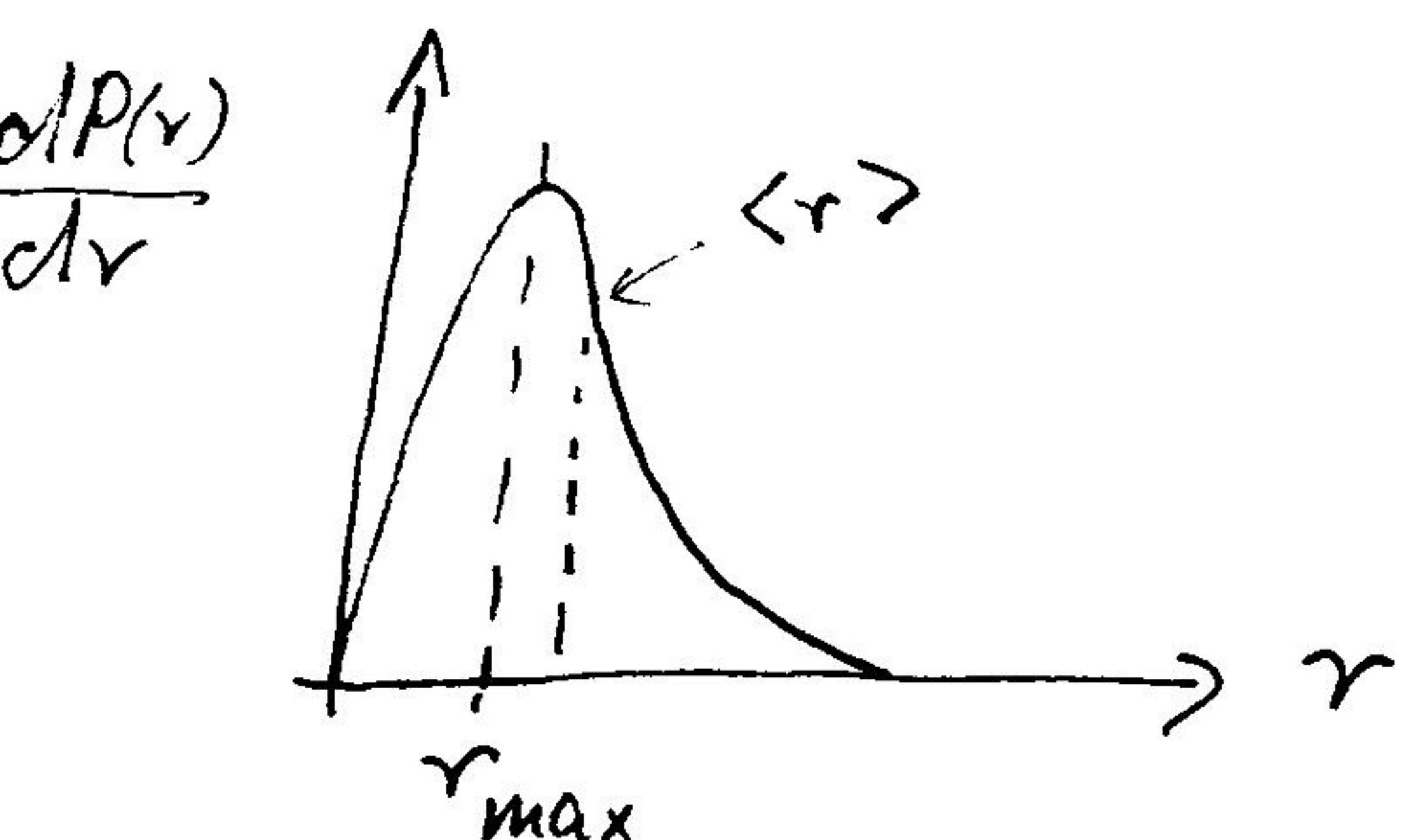
R, ϑ, ϕ sind individuell vorwirt, so daß Integral d. Wahrscheinlichkeitsdichten über alle erlaubten Werte $\stackrel{!}{=}$ ergibt, d.h. auch $\int_0^\infty \frac{dP(r)}{dr} dr = \int_0^\infty [R_{n,e}]^2 r^2 dr \stackrel{!}{=}$

1s-Zustand: keine ϑ u. ϕ -Abhängigkeit
 $[R_{1,0}]^2 = 4/a_0^3 \exp(-r/a_0)$



Fig. 7-1

aber $dP(r)/dr = [R_{1,0}]^2 r^2$, d.h. geht gegen 0 für $r \rightarrow 0$



• Wahrscheinlichster radikal Abstand des Elektrons vom Kern:

$$\frac{d(r^2 R_{10}^2)}{dr} = 0 \quad \begin{array}{l} \text{Können Normierung konst.} \\ \text{in } R(r) \text{ ignorieren} \end{array}$$

$$\frac{d(r^2 \exp(-2r/a_0))}{dr} = 0 = 2r(1 - \frac{r}{a_0}) \exp(-2r/a_0) \text{ f\"ur } r=r_{\max}$$

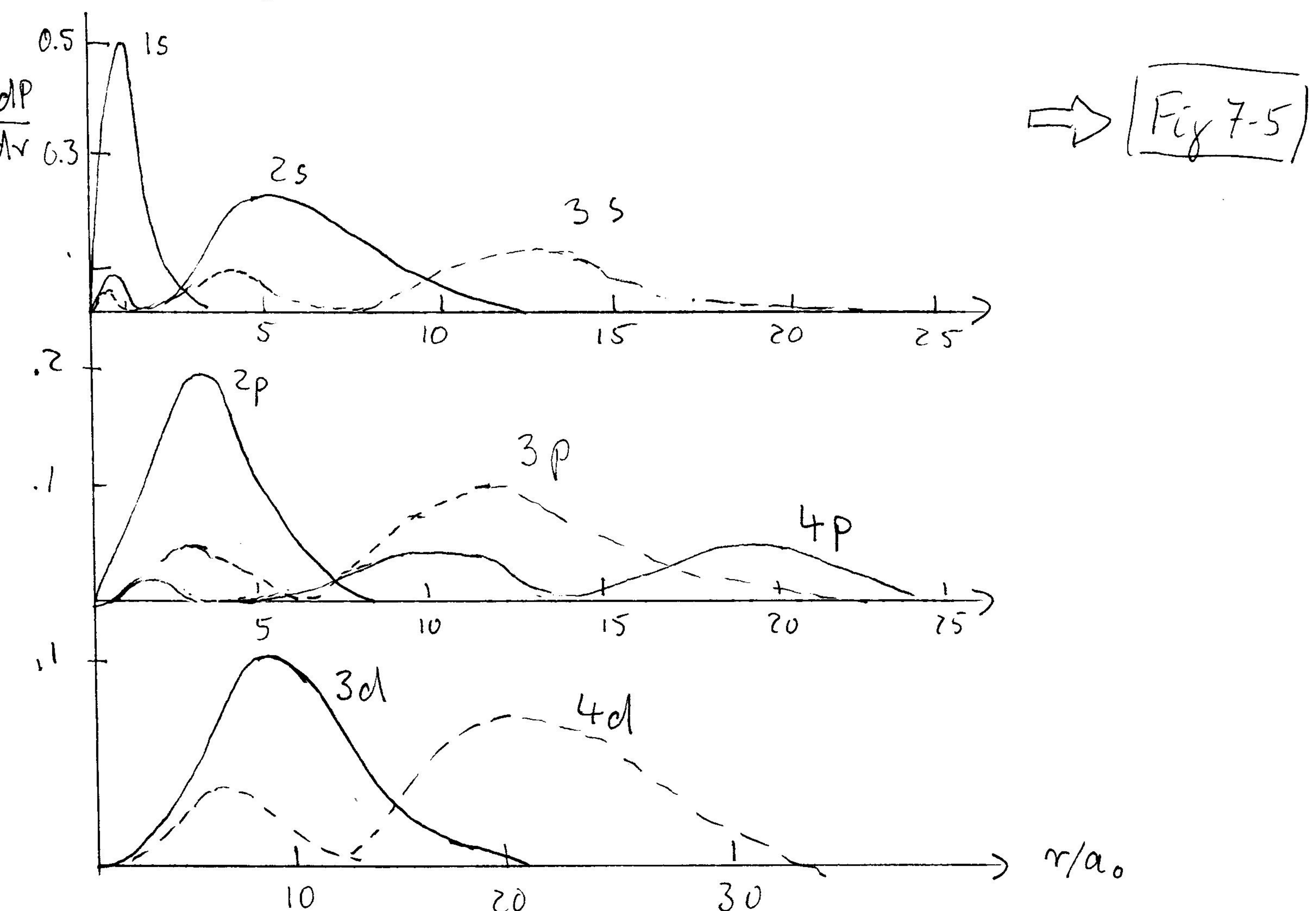
$$\approx 1 - \frac{r_{\max}}{a_0} = 0 \text{ och } r_{\max} = a_0 \leftarrow \text{Bohradius}$$

Mittlere radiale Abstand des Elektrons im Grundzustand oder Erwartungswert von r ist

$$\langle r \rangle_{100} = \int_0^\infty R_{100}^* r R_{100} r^2 dr = \frac{4}{a_0^3} \int_0^\infty \exp(-2r/a_0) r^3 dr$$

mit Beziehung von $\int r^n \exp(-br) dr = \frac{n!}{b^{n+1}}$ \rightarrow

$$\langle r \rangle_{100} = \frac{4}{a_0^3} \cdot 3! \left(\frac{a_0}{2}\right)^4 = \frac{3}{2} a_0$$



1) für ein gegebenes n hat Wahrscheinlichkeitsdichte $\psi(r)$
 $l = l_{\max} = n-1$ ein Maximum für Wellenfunktion
 für $l = n-2$ zwei Maxima, etc.

2) das äußerste (am weitsten von Kern entfernte) Maximum ist das höchste.

vergleiche Wahrscheinlichkeitsdichte innerhalb einer Schale  Figs 7.5

3) für gegebenes n und Vergleich der stärksten (äußersten) Maxima für die erlaubten l : Maximum für max. l ist am nächsten zum Kern

z.B. 3s	3. Max ist bei	$\approx 14 a_0$
3p	2.	$\approx 11 a_0$
3d	1.	$9 a_0$

4) für jedes n stimmt das Maximum für das axialelle $l = n-1$ mit dem Bohr-Modell überein

1s	$dP/dr _{\text{max}}$ bei	$1 a_0$
2p		$4 a_0$
3d		$9 a_0$
4f		$16 a_0$

wicht jedoch für alle anderen Wellenfunktionen

Winkelabhängigkeit:

- $dP/d\varphi = |\psi|^2 = c \exp(i m_\ell \varphi) \exp(-im_\ell \varphi) = c \exp(0) = 1 \cdot c^2$
Kleine Abhängigkeit von m_ℓ wechselt mit $c^2 = \frac{1}{2\pi}$
- ϑ -Abhängigkeit
 $dP/d\vartheta = |\Theta_{\ell,m_\ell}(\vartheta)|^2 \sin \vartheta$

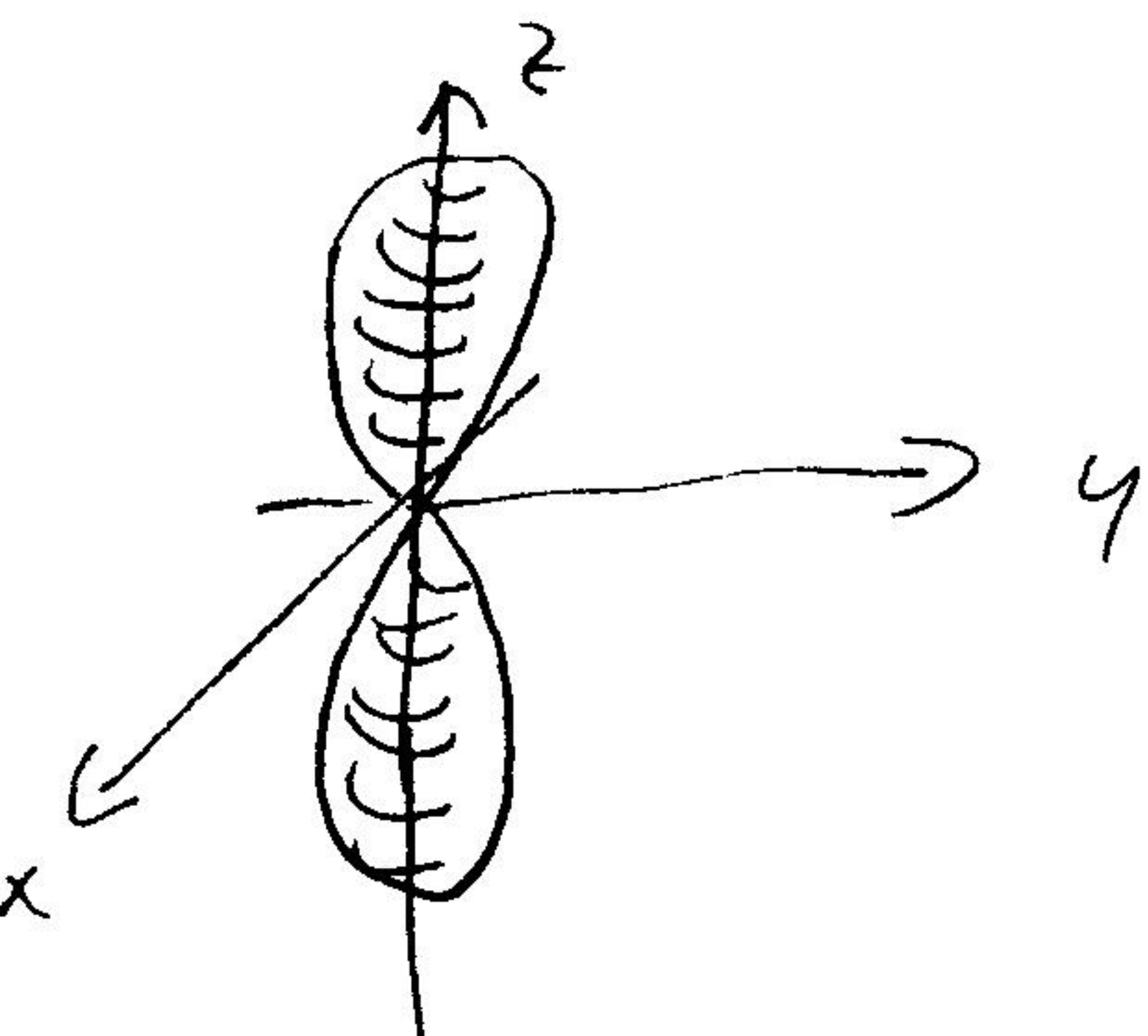
\Rightarrow siehe oben - Präzession von L um z

$$\ell=0 \quad m_\ell=0 \quad \Theta_{0,0}(\vartheta) = \frac{1}{\sqrt{2}} \quad \Theta^2 = \frac{1}{2}$$

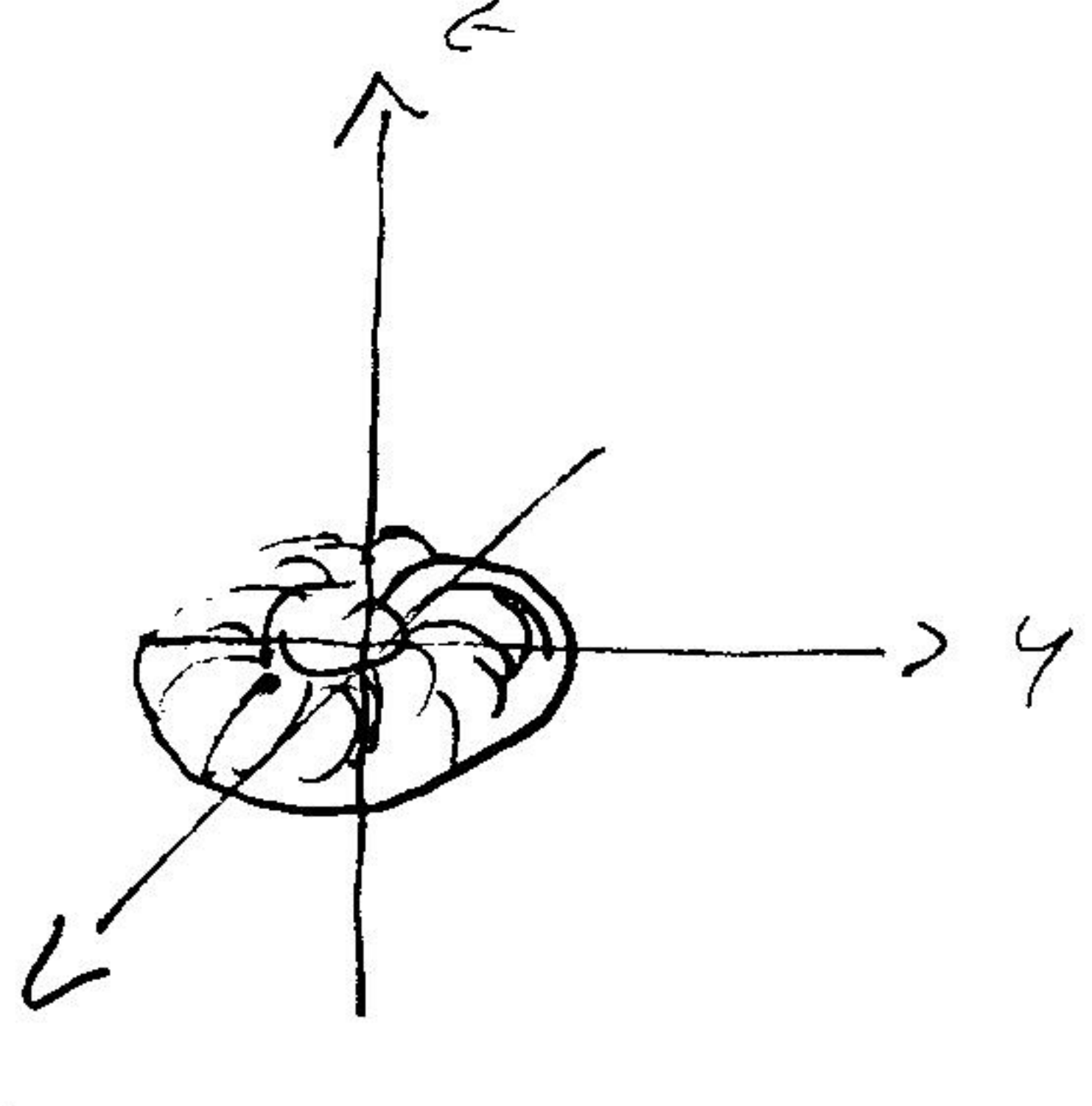
$dP/d\vartheta = \frac{1}{2} \sin \vartheta$ wie für Kugelschale
alle s-Orbitale ($\ell=0$ Pastträger) haben
sphärische Symmetrie, nur m_ℓ variiert
Wahrscheinlichkeitsdichte (siehe oben)

\Rightarrow Fig 7-1, 7-3

$$\ell=1 \quad m_\ell=0 \quad \Theta_{1,0}(\vartheta) = \sqrt{3/2} \cos \vartheta \quad \frac{dP}{d\vartheta} = \frac{3}{2} \cos^2 \vartheta \sin \vartheta$$



$$\ell=1 \quad m_\ell=\pm 1 \quad \Theta_{1,\pm 1}(\vartheta) = \frac{\sqrt{3}}{2} \sin \vartheta \quad \frac{dP}{d\vartheta} = \frac{3}{4} \sin^3 \vartheta$$



\Rightarrow Fig 7-2

Fig 7-4 u. n=3 Orbitale

Fig 7-6 Fe^{Rash-Tamm-Reinstropf} - C-Lanthan - Oberschicht

7.4. Magnetisches Moment und Spin

Bahnbewegung des Elektrons führt zu magnetischem Moment: bewegtes Elektron \equiv Strom

bedachte zunächst Sparschleife



magnetisches Moment $\mu = iA$

Orientierung: Spule recht zur Fläche A

$$\text{zirkulärer Lauf: } i = \frac{q}{T} = -\frac{ev}{2\pi r} = -\frac{ep}{2\pi mr}$$

Umlaufzeit

$$\approx \mu = iA = i\pi r^2 = -\frac{e}{2m} rp \quad \begin{matrix} r \text{ und } p \text{ senkrecht;} \\ \vec{r} \times \vec{p} = \vec{L} \end{matrix} \quad rp = L$$

μ steht senkrecht zu r und p , Rießzeichen zeigt das μ antiparallel zu L .

$$\boxed{\vec{\mu}_e = -\frac{e}{2m} \vec{L}}$$

Subskript e zeigt, dass magnetisches Moment durch Bahnbewegung verursacht.

Herleitung v. klassischer Sparschleife, ab mag. Moment ausgedrückt durch Bahnimpuls.
Für Elektron ist Trajektorie nicht festgelegt, ab Bahnimpuls. Das fixiert Größe des mag. Moments.

Verhältnis zw. mag. Moment und Bahnimpuls

$$\frac{\vec{\mu}_e}{|\vec{L}|} = -\frac{e}{2m} \vec{L} \equiv \text{gyromagnetisches Verhältnis}$$

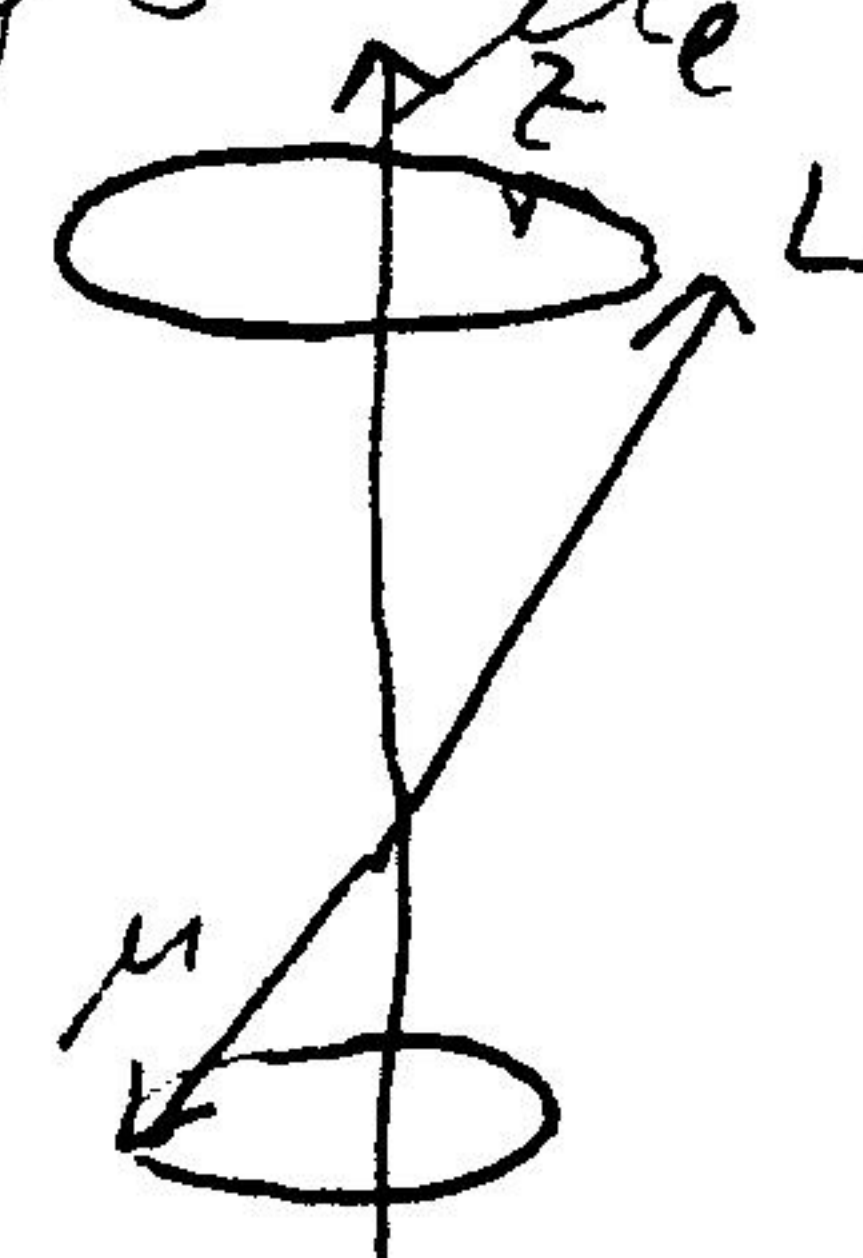
Richtung quantisierung von \vec{L} :

- präzidiert um z-Achse weit

z-Komponente $L_z = m_e h$



Zur Zeitmittel über z-Komponente vergleich Null,
d.h. im Zeitmittel sieht man sie ~~die~~ auch
nur z-Komponente



$$\langle \vec{\mu}_e \rangle = \mu_z = -\frac{e}{2m} \langle \vec{L} \rangle = -\frac{e}{2m} L_z \\ = -\frac{e}{2m} \hbar m_e$$

mittleres magnetisches Moment in Übereinstimmung mit Bohrmodell! um m_e , nicht n bestimmt Größe

Einheit des magnetischen Moments:

$$\text{Bohr Magneton } \mu_B = \frac{e\hbar}{2m} = 9.274 \cdot 10^{-24} \frac{\text{Am}^2}{\text{VIT}} \\ = 5.79 \cdot 10^{-5} \text{ eV/T}$$

$$\langle \vec{\mu}_e \rangle = \mu_z = -\mu_B m_e$$

Atom in äußeren Magnetfeld: (B in z-Richtung)

$$\text{Drehmoment } \vec{\tau} = \frac{d\vec{L}}{dt} = \vec{\mu} \times \vec{B} = -\frac{q}{2m} \vec{L} \times \vec{B}$$

Präzession, da Drehimpuls ändert \perp zu \vec{L} und \vec{B} . Präzessionsfrequenz = Larmorfrequenz

$$\omega_L = \frac{eB}{2m}$$

(wie Kreiselproblem)

potentielle Energie $V = -\vec{\mu}_e \cdot \vec{B} = -\mu_z \cdot B$

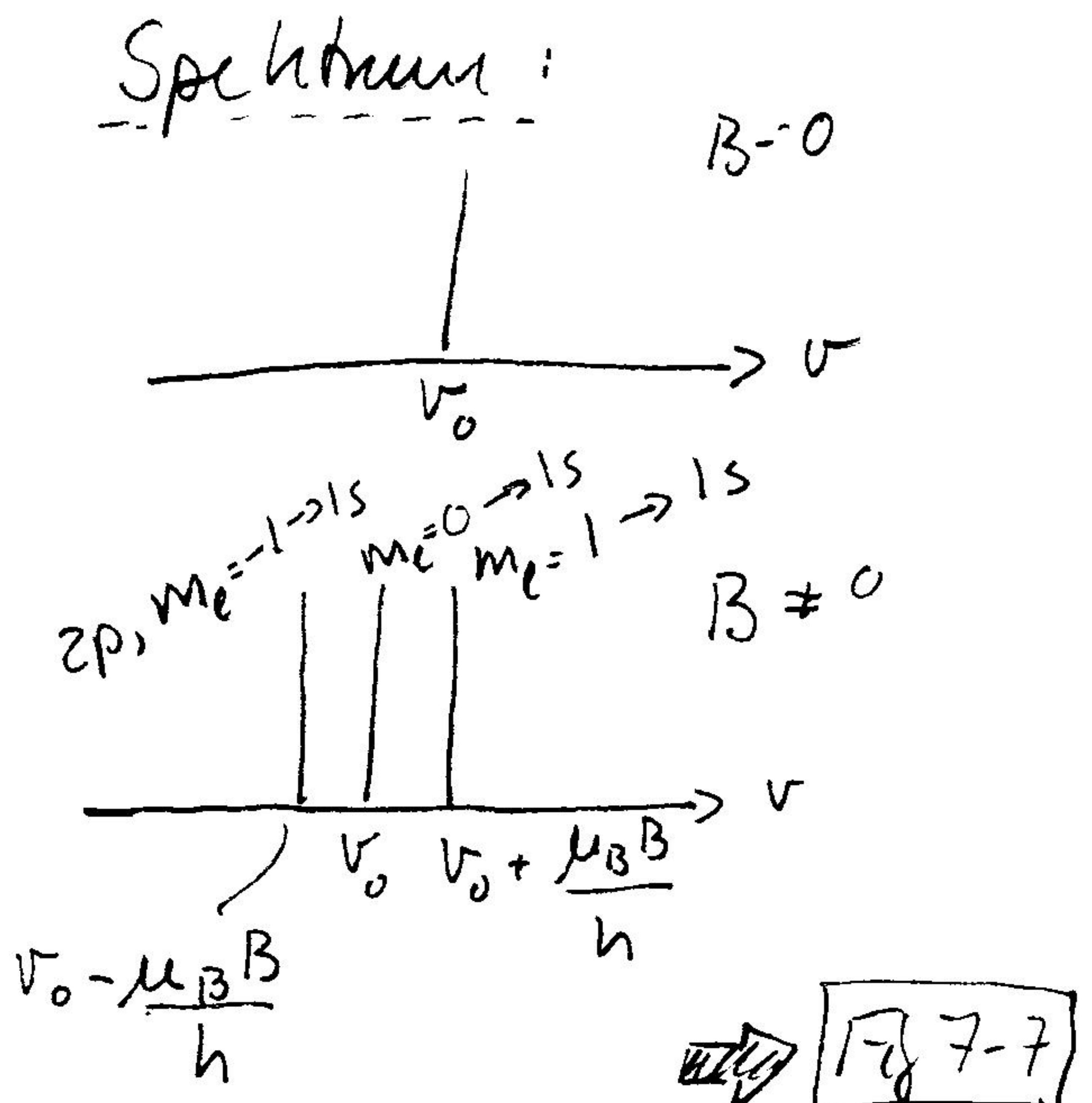
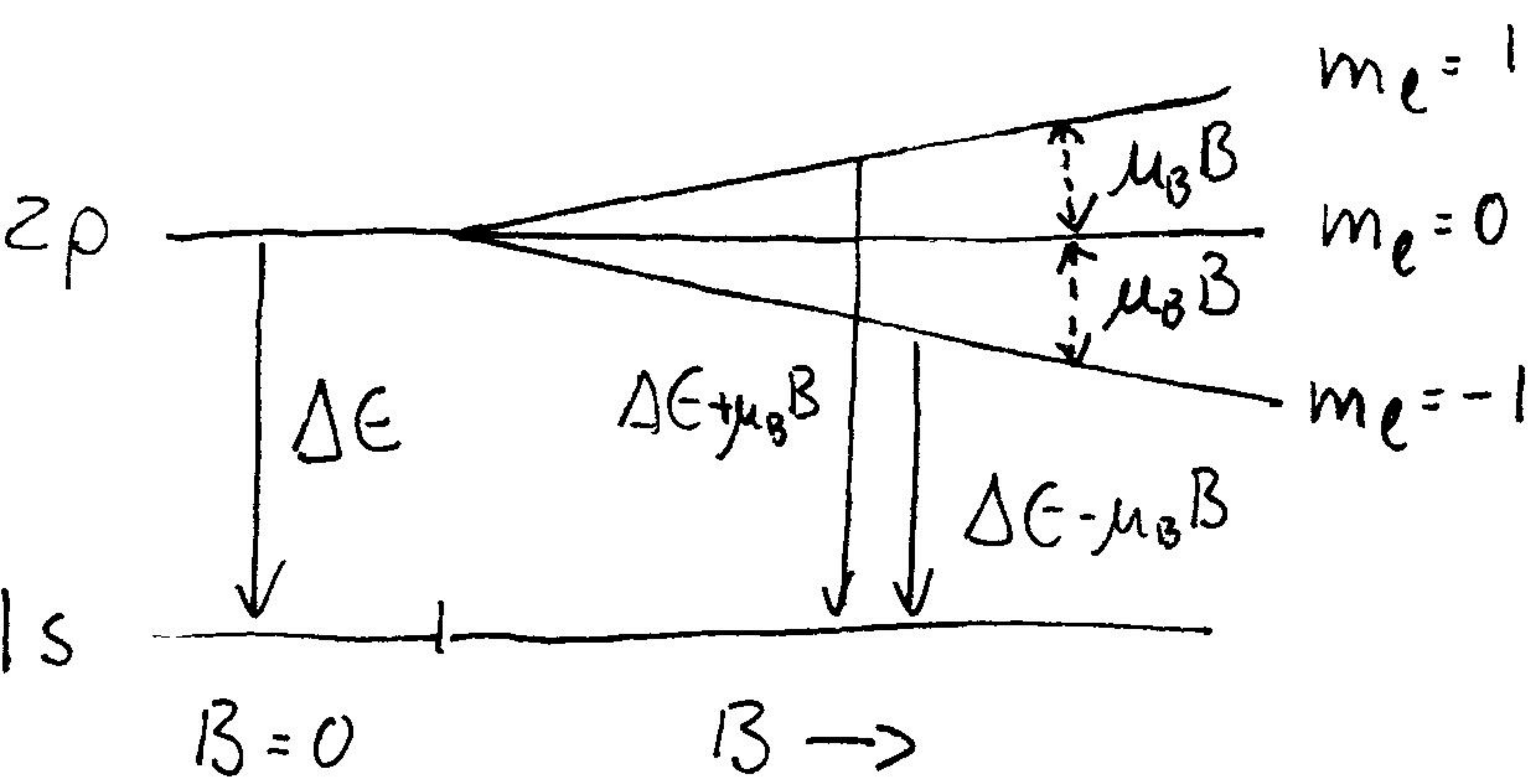
(da B in z -Richtung)

$$= \frac{e\hbar}{2m} B m_e = \mu_B B m_e$$

Energie eines Elektrons in äußerem Magnetfeld $B = B_z$ wird verschoben um V

$$\begin{array}{ccc} E & \longrightarrow & E + \mu_B B m_e = -\frac{13.6 \text{ eV}}{n^2} + \mu_B B m_e \\ \text{kein Magnetfeld} & & \text{mit Magnetfeld} \end{array}$$

zuerst beobachtet durch Piet Zeeman 1896
"Zeeman-Effekt"



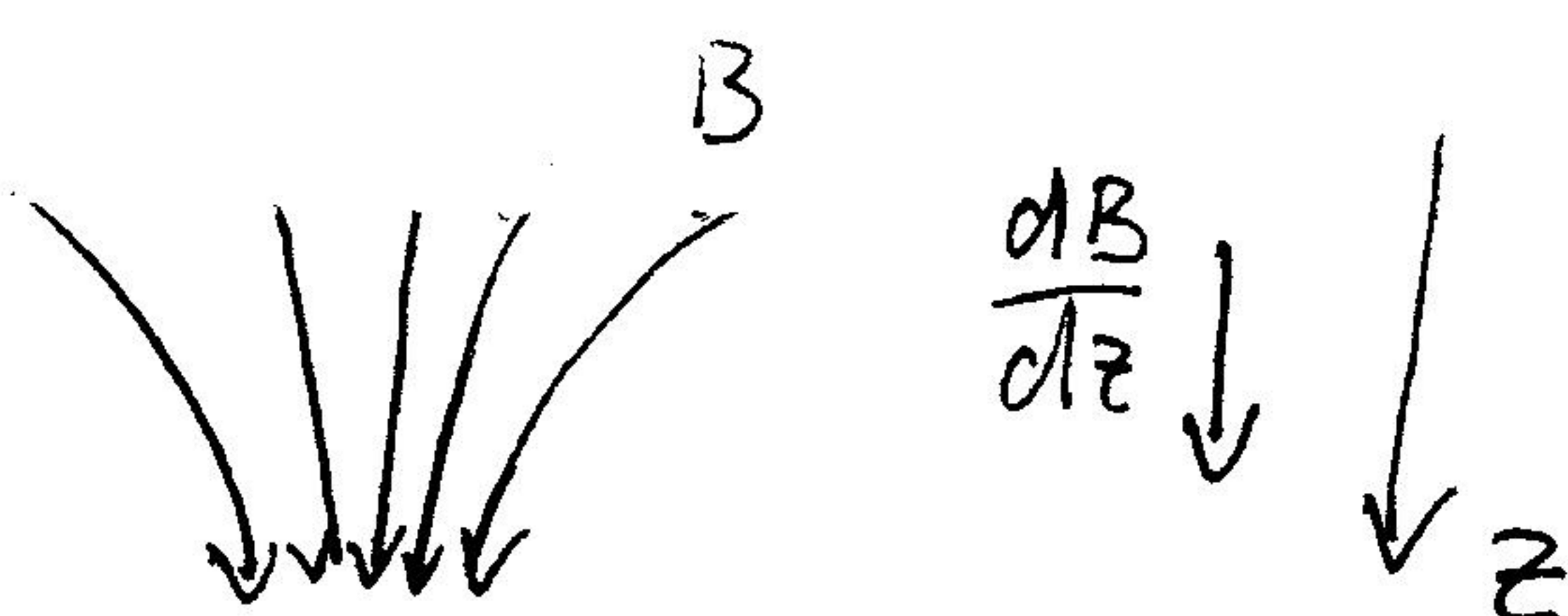
Stern-Gerlach Experiment: Atoms in s-Zustand $\ell=0, m_e=0$

sollte in äußerem Magnetfeld keine Energieverschiebung der Elektroenzustände erfahren.

1922 führten Otto Stern u. Walter Gerlach ein Exp. durch, das zeigt, dass das nicht so ist.

Exp. u. Silber-Atomeen, da leicht nachweisbar mit photographischer Technik. Elektronische des Wasserstoff sehr ähnlich. Bei einzelner äußerer Elektron bewegt sich im Coulombpotential gegeben durch seine Ladung $-e$ und Pos. Ladung von 47 Protonen u. neg. Ladung von 46 inneren Elektronen. $L=0 \approx l=0, m_l=0 n=5 \quad 5s$

Strahl von Ag-Atomen durch inhomogenes Magnetfeld:



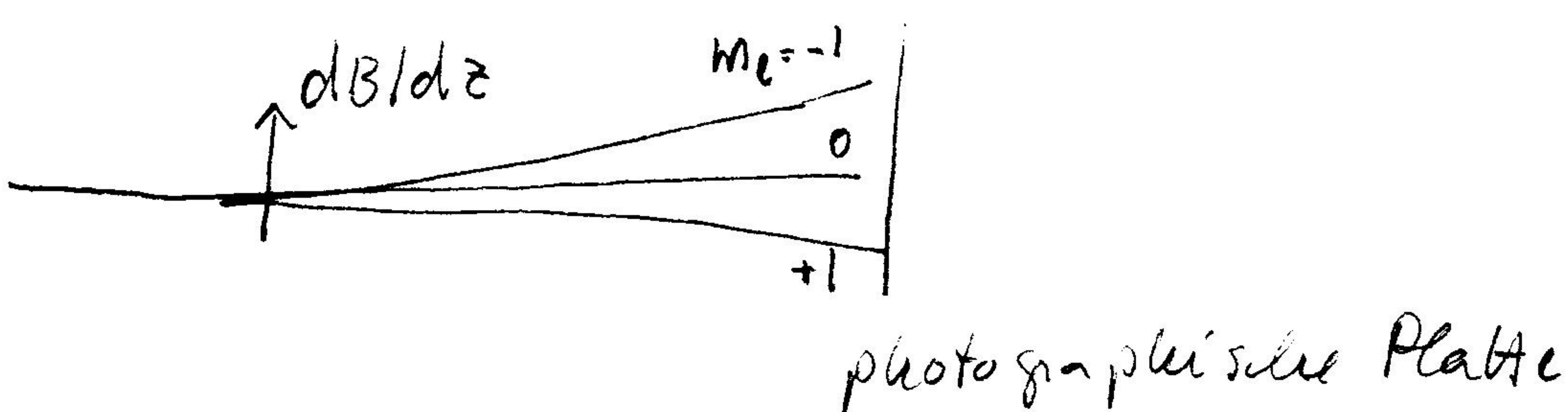
Ist nicht ein Drehmoment sondern direkt Kraft auf elektrischen oder magnetischen Dipol

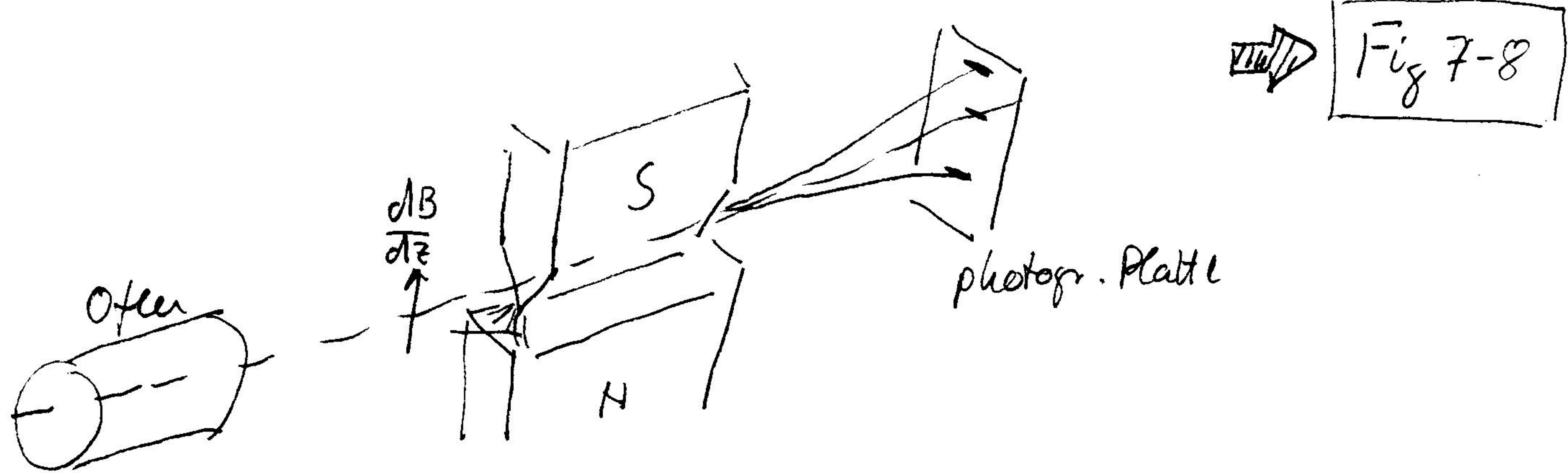
$$\vec{F} = \nabla_{\vec{B}} \cdot \vec{B} = \mu_z \frac{dB}{dz} \hat{z} \quad \text{Gleichrichtung in } z\text{-Richtung}$$

$$|\vec{F}| = -\mu_B m_l \frac{dB}{dz}$$

Strahl von Atomen, die unreg. Feldgradienten durchqueren, wird abgelenkt, je nach Anzahl von μ_z , bzw. Wert der Quantenzahl m_l
 \rightarrow direkter Beweis der Richtungsquantisierung
z.B. Wasserstoff $n=1 \quad l=0 \quad m_l=0 \rightarrow$ keine Ablenkung erwartet

Elektron in $n=2 \quad l=1$ Zustand $m_l=0, \pm 1$





w. Ag.-Strahl wie ließt erwartet, es wurde aber 2 beobachtet; Ablenkung wird auf die Richtung des Feldgradienten

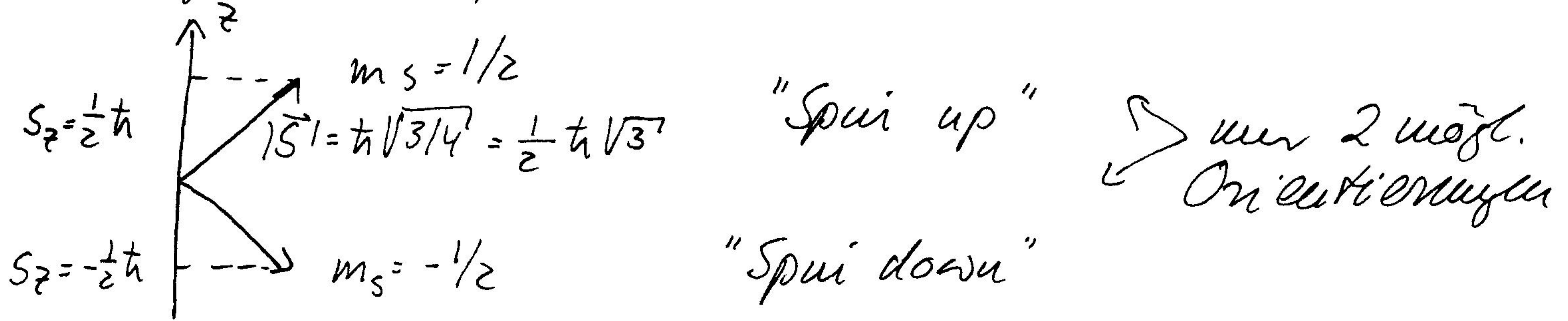
d.h. selbst ohne Balandrehimpuls hat Elektron magnetisches Moment, mit 2 möglichen z-Komps. Bereits 1921 Idee von Compton, daß Elektron ^{um eigene} ~~um diese~~ Achse rotiert 1925 postuliert Sam Goudsmit und George Uhlenbeck, daß Elektron innerischer Drehimpuls hat \propto fürt zu mag. Moment, selbst wenn Balandrehimpuls = 0.

Ebenfalls 1925 wurde von Dirac gefunden, daß Schrödinger-Gleichung für relativistisches Elektron (Dirac-Gleichung) diese neue Eigenschaft entält; zwei zusätzliche Quantenzahlen (aber: Spin ist kein relativistischer Effekt, siehe Phys IV, 13) innerischer Drehimpuls oder Spin \vec{s} * mit Länge $|\vec{s}| = \hbar \sqrt{s(s+1)}$ $s = \text{Spin-Quantenzahl}$
 $= \hbar \sqrt{3/4}$ für Elektron $s = 1/2$
 $m_s = s, s-1, \dots, -s \quad m_s = 1/2, -1/2$

ebenfalls wird Richtung quanten, * Achtung: Name darf nicht wörtlich genommen werden, keine Rotation des Elektrons um eigene Achse!

Fig 7-8

so dass z-Komponente $S_z = m_s \hbar$



wil L präzidiert S um z-Achse, wie Nadel verschwinden x- und y-Komponenten

$$\langle \vec{S} \rangle = S_z = m_s \hbar$$

~ magnetisches Moment reflektiert auch um z-Komponente von S, aber gyromagnetisches Verhältnis fast genau doppelt so groß wie für Bahnbewegung

$$\vec{\mu}_s = -\frac{e}{m} \vec{S} \quad \text{Spin mag. Moment}$$

$$\langle \vec{\mu}_s \rangle = \mu_{Sz} = -\frac{e}{m} m_s \hbar$$

$$= -2\mu_B m_s = \mp \mu_B \text{ für } m_s = \pm 1/2$$

in inhomogenem Magnetfeld $F_z = \mp \mu_B \frac{dB}{dz}$ ~ 2 Arten
1943 Nobelprize O. Stern

(1927 von Phillips & Taylor für H selbe Beob.) Feinstruktur 7-21 a+b

7.5. Übergänge zwischen Zuständen des Wasserstoffatoms

Photon hat intrinsischer Drehimpuls charakterisiert durch Quantenzahl $s=1 \sim |S| = \hbar \sqrt{1/2}$

Nur Orientierungen mit $m_s = +1$ und -1 erlaubt entsprechend den zwei Polarisationen nicht tragen des Photons. $m_s = 0$ nicht erlaubt \leftarrow Effekt der

Spur führt zu sogenannter Fizei struktur:

Eichhaus mit Bahndrehimpuls L beschreibt Rotation um Peripherie d. Atoms. Im Ruhesystem d. Elektrons sieht es einem durch 'Kreisender' Atom \approx Magnetfeld aus Ort des Eichhauses. Effekt gleich wie durch externes Magnetfeld. \rightarrow Energiedifferenz

$$V = -\vec{\mu}_S \cdot \vec{B} = \frac{e}{m} \vec{s} \cdot \vec{B} = \frac{e}{m} s_z B = \pm \underbrace{\frac{e t_1}{2m}}_{\mu_B} B$$

Ruhesystem d. Proton,



Ruhesystem d. Elektrons



große Abschätzung der Feinstrukturdifferenz im Bohrmodell: approximieren Proton wieder als Stromschleife

$$B = \frac{\mu_0 \cdot i}{2r} = \frac{\mu_0 \cdot e}{2r T} = \frac{\mu_0 e V}{2r 2\pi r} \sim \Delta E = 2\mu_B B = \frac{\mu_0 e V}{2\pi r^2} \mu_B$$

benutze wieder $|L| = mvr = nh$ (Bohr) und substituiere für V und benutze $\mu_B = \frac{e\hbar}{2m}$

$$\Delta E = \frac{\mu_0 e^2 \hbar^2 n}{4\pi m^2 r^3}$$

Substituieren Bohr radius

$$1/r = \frac{me^2}{4\pi \epsilon_0 \hbar^2} \frac{1}{n^2}$$

(schreibe hier expl. $4\pi \epsilon_0$, da wo auftritt)

$$\Delta E = \frac{\mu_0 m e^8}{256 \pi^4 \epsilon_0^3 \hbar^4} \frac{1}{n^5} \quad \text{mit} \quad \frac{1}{\epsilon_0} = C^2$$

$$\text{und } \alpha = \frac{e^2}{4\pi \epsilon_0 \hbar c} = \frac{1}{137}$$

$$\Delta E = (mc^2) \alpha^4 \frac{1}{n^5}$$

$$\text{z.B. } n=2 \text{ in H } \Delta E = 4.5 \cdot 10^{-5} \text{ eV}$$

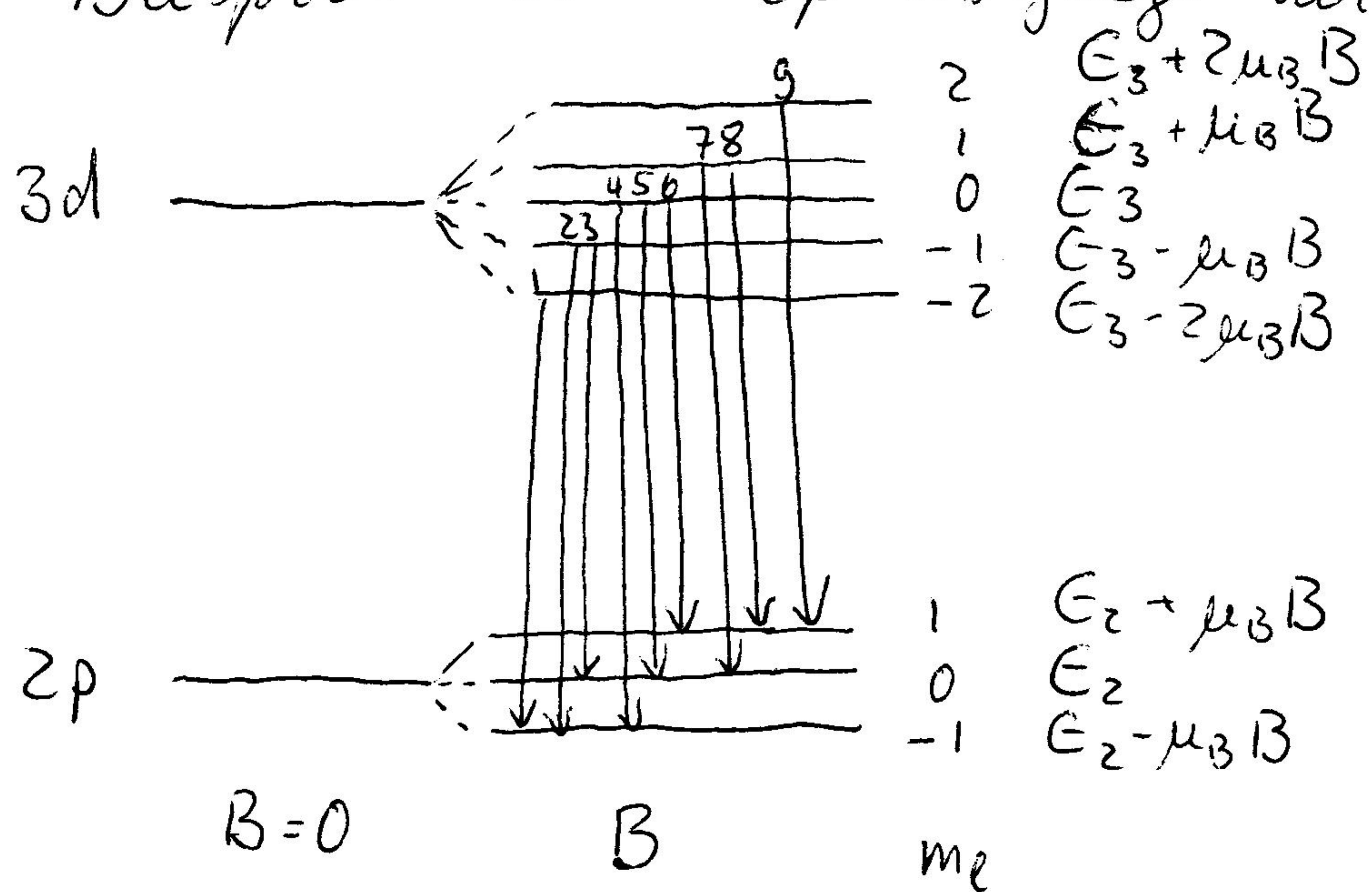
- geschieht in Lyman Serie von Wasserstoff Energieniveaus $\propto \alpha^2/n^2$ Effekt sehr klein
- Faktur α^2 im Vergleich zu E ; Name "Feinstruktur"
- Natürlich auch Kopplung zwischen Bahndrehimpuls und Spin des Elektrons (siehe unten)
- \hookrightarrow Einfluss auf Zahl und Lage d. Spektrallinien (Rennan)

spezieller Relativitätstheorie; es gibt kein System, in dem Photon in Ruhe ist.

Drehimpuls erhaltung (und Struktur des Operators für elektromagnetische Übergänge) führen zu sogenannten "Auswahlregeln", die sagen welche Übergänge durch Absorption oder Emission eines Photons stattfinden.

- 1) Keine Auswahlregel für Δn
- 2) nur Übergänge mit $\Delta l = \pm 1$ wahrscheinlich
z.B. $3p \rightarrow 2s$
nicht $3p \rightarrow 2p$
- 3) $\Delta m_l = 0, \pm 1$

Beispiel $3d \rightarrow 2p$ Übergänge im Radiergitterplot

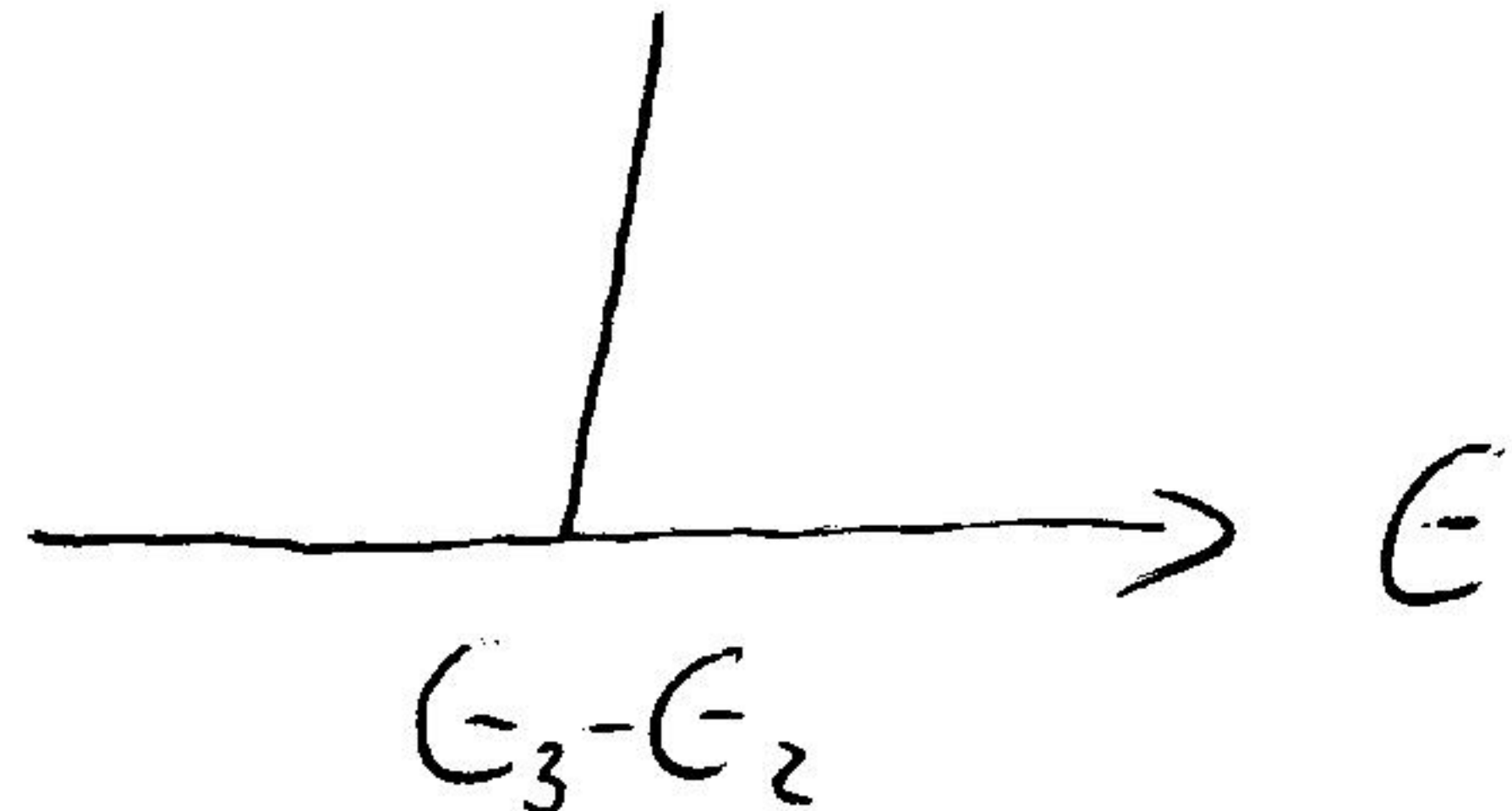


Übergang

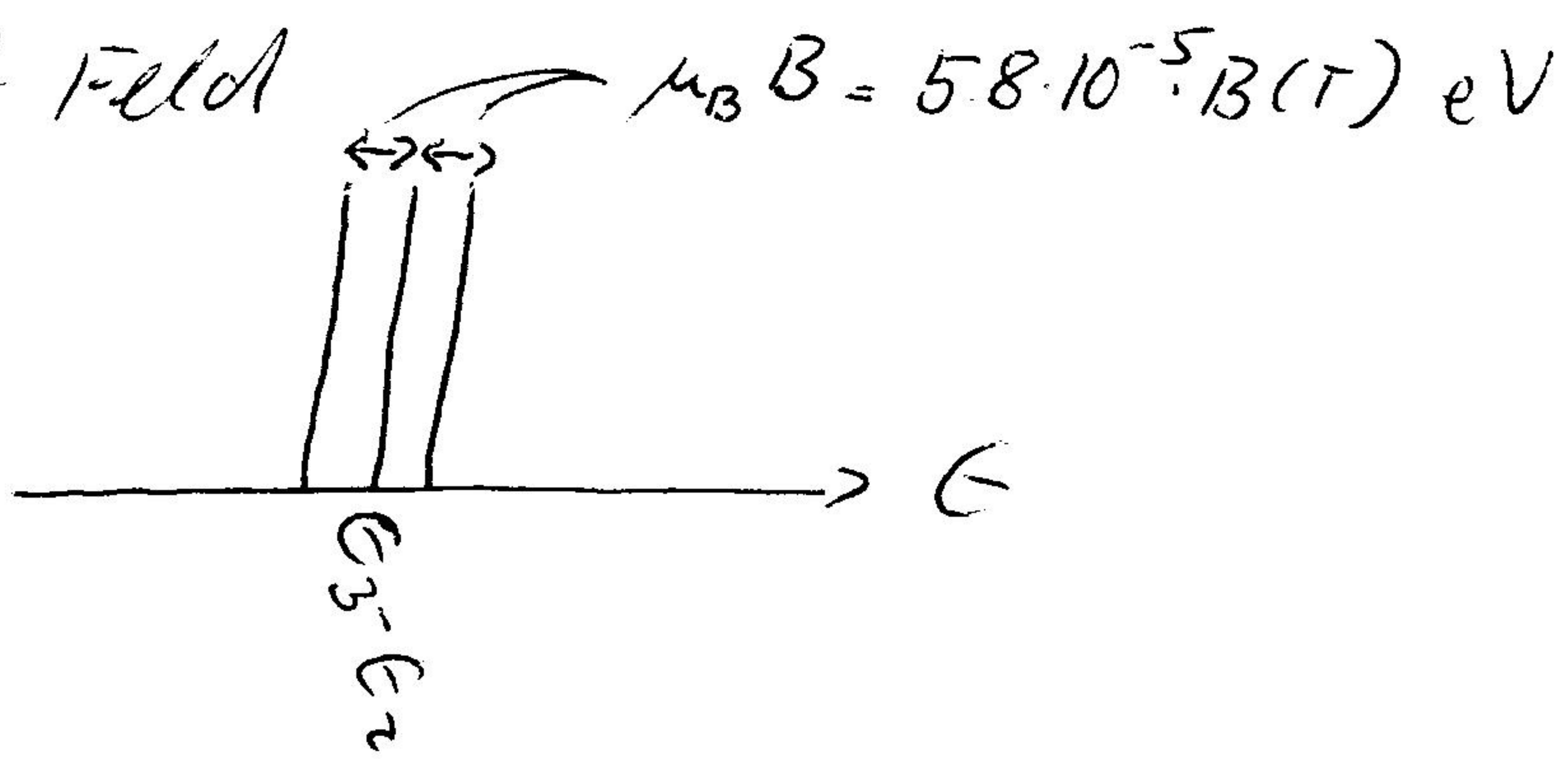
- 1 $E_3 - 2\mu_B B - (E_2 - \mu_B B) = E_3 - E_2 - \mu_B B$
- 2 $E_3 - E_2$
- 3 $E_3 - E_2 - \mu_B B$
- 4 $E_3 - E_2 + \mu_B B$
- 5 $E_3 - E_2$
- 6 $E_3 - E_2 - \mu_B B$
- 7 $E_3 - E_2 + \mu_B B$
- 8 $E_3 - E_2$
- 9 $E_3 - E_2 + \mu_B B$

→ nur 3 Übergangswahrscheinlichkeiten $E_3 - E_2 + \mu_B B : E_3 - E_2 : E_3 - E_2 - \mu_B B$
 von 3 : 3 : 3 d.h. alle gleich

ohne Feld



mit Feld

Paischlecke Auswahlregel : 4) $\Delta m_s = 0$

Spieldrichtung ändert sich nicht